

知的情報処理論 第10回

2023年6月20日 (火)
武田

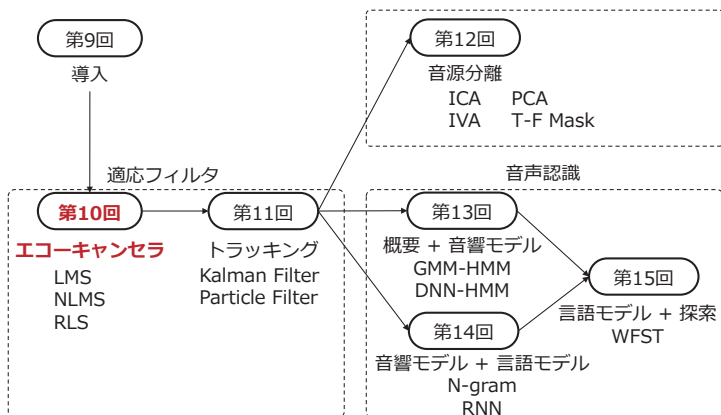
1

第3回レポート

- 7/3 (月) 23:59 提出締め切り
- 詳細は CLE 上の pdf を見ること

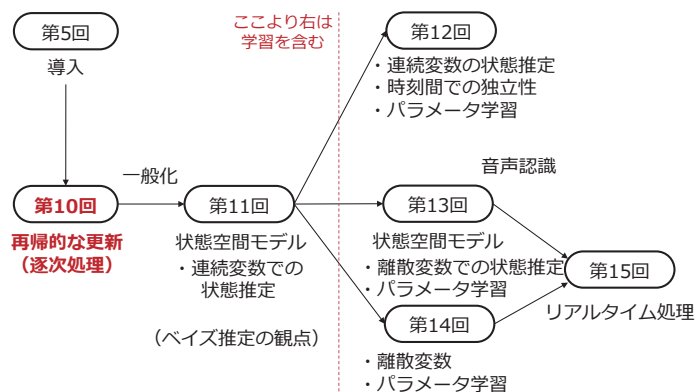
2

各回の内容 (予定)



3

各回の内容 (予定)



4

頭の片隅に置いとく方が良い 大まかな要素

コスト関数

- 「良さ」を測る関数
教師あり学習: 二乗誤差, CrossEntropy, etc...
教師なし学習: 尤度, 再構成誤差, etc...
認識・推定: 期待値, 最大事後確率(MAP), etc...
- ロス/目的関数ともいう

モデル

- 入出力の関係や拘束条件を記述
- 方程式や確率モデルで表現
(コスト関数と一体化 or 切り離せない場合も)

ざっくりとした 認識/学習/探索

- コスト関数を{最大化|最小化|良く}する値(集合)を求める手続き(最適化など)
- モデルの構造や補助変数・関数を利用した手続きも存在

5

本日の内容: 適応フィルタ

「再帰的なパラメータ更新へ」

1. ウィーナーフィルタ

逐次処理
観測データ利用

2. LMS/NLMS

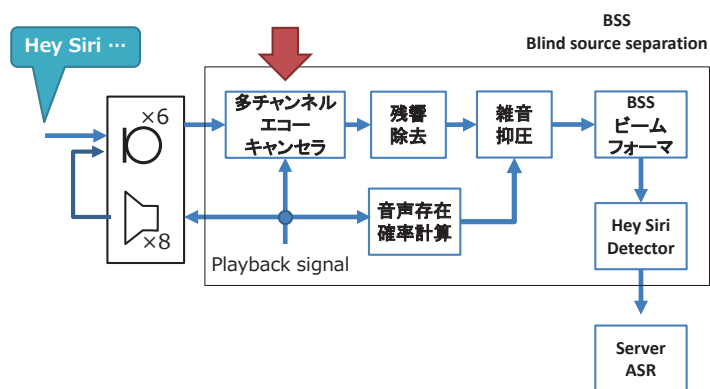
3. RLS

再帰的更新
全観測データ利用

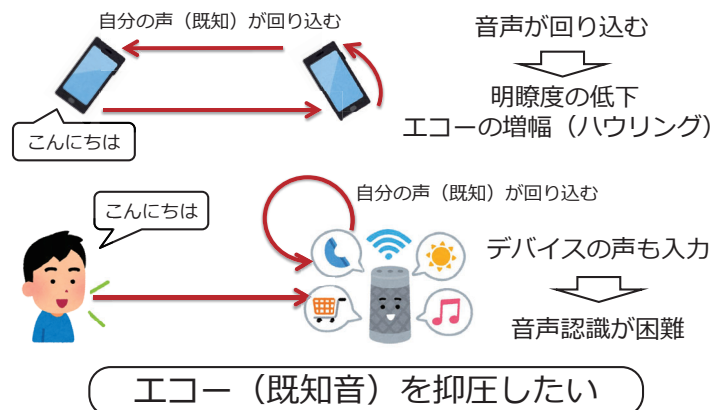
4. その他

6

Apple Home Pod の構成 (SLT2018より)

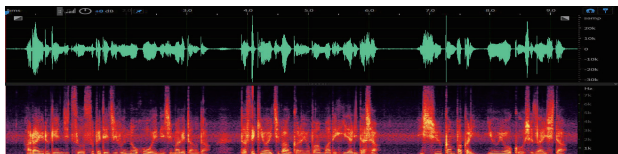


エコーキャンセラ (適応フィルタ)

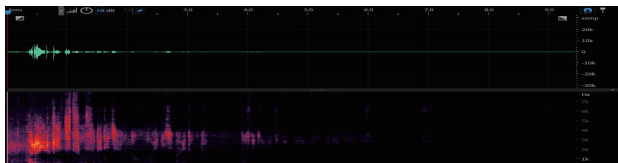


エコーキャンセラ

キャンセル前 (観測信号)



逐次的なキャンセル



動的状況(次回): トラッキング 斜方投射 + 測定雑音

動的状況(次回): 音源定位 (各瞬間瞬間での方向推定)

適応フィルタ

具体的な例

13

目的: 入力からスピーカの音を動的に消す

入力: マイク録音信号 $d[t]$

前提: スピーカから出る音 $u[t]$ は既知 (参照信号)



具体的な例

14

目的: 入力からスピーカの音を動的に消す

入力: マイク録音信号 $d[t]$

前提: スピーカから出る音 $u[t]$ は既知 (参照信号)

伝搬経路のモデル

$$y[t] = \sum_{k=0}^{M-1} w[k]u[t-k] \leftrightarrow d[t]$$

同じにしたい

$w[k]$ インパルス応答 (パラメータ)



パラメータが求まればスピーカ音の消去が可能

具体的な例

15

目的: 入力からスピーカの音を動的に消す

入力: マイク録音信号 $d[t]$

前提: スピーカから出る音 $u[t]$ は既知 (参照信号)

伝搬経路のモデル

$$y[t] = \sum_{k=0}^{M-1} w[k]u[t-k] \leftrightarrow d[t]$$

同じにしたい

$w[k]$ インパルス応答 (パラメータ)

以降の対象

離散時間・線形・有限長のフィルタ (FIR) finite impulse response

パラメータが求まればスピーカ音の消去が可能

フィルタと適応

16

フィルタ

観測データに対して統計的な処理を行い、目的の信号を抽出する/対象としている量についての正確な情報を抽出する

適応

調整可能なパラメータを持ち、(扱っている信号の) 推定した統計的性質に基づいて、それらの値が自動的に指定される

線形・非線形だとかは関係ない

S. Haykin 「適応フィルタ入門」より

基本的な処理

17

3つの基本的な情報処理操作

- **フィルタリング**
- 平滑化 (スムージング)
- 予測

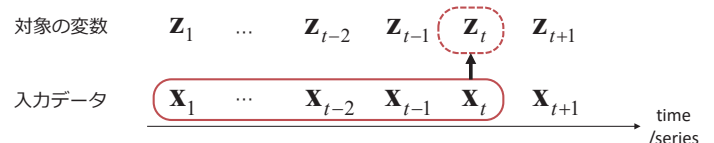
ここでは、時刻 t における

観測データ \mathbf{x}_t 次元数は適当に設定されているとする
 適応/推定対象 \mathbf{z}_t
 (潜在変数 or パラメータといった“知りたい”値)
 と表記して説明

フィルタリング (濾波)

18

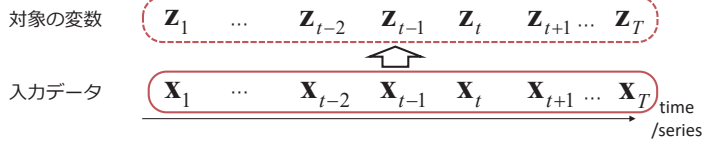
時刻 t までに観測したデータを用いて、時刻 t における所望の信号/情報を抽出



- 逐次処理 (リアルタイム処理向き)
- 密度/分布関数で捉えた場合 $p(\mathbf{z}_t | \mathbf{x}_1, \dots, \mathbf{x}_t)$
知りたい値 与えられたデータ

平滑化（スモージング）

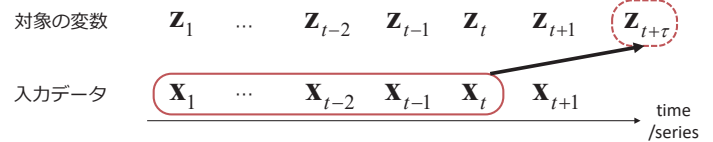
時刻 t 以降に観測したデータも用いて、
 所望の信号/情報を抽出



- 未来のデータも利用可能（バッチ処理）
 = より正確な抽出が期待
- 過去のデータを処理する場合は遅延が生じる
- 密度/分布関数で捉えた場合 $p(z_1, \dots, z_T | x_1, \dots, x_T)$

予測

時刻 t までの観測データを用いて、
 ある $\tau > 0$ だけ先の時刻 $t + \tau$ の所望の
 信号/情報がどのようなようになるかを求める



- 時間発展を考慮
- 密度/分布関数で捉えた場合 $p(z_{t+\tau} | x_1, \dots, x_t)$

適応信号処理の例

未知の動的システムのモデリング

- System Identification

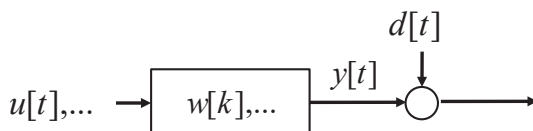
音声生成過程のモデル

- 声道フィルタ: 音声特徴量と関連

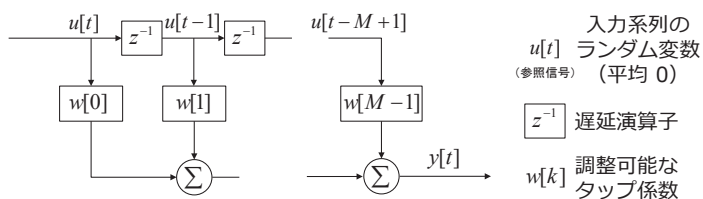
線形予測符号化

- linear prediction による音声パラメータ推定

エコーキャンセラ・適応ビームフォーマ



ブロック図と問題設定



目的: 望みの応答 $d[t]$ と出力 $y[t]$ の差の最小化

$$y[t] = \sum_{k=0}^{M-1} w[k] u[t-k] \quad \text{誤差信号 } e[t] = d[t] - y[t]$$

ウィーナー理論: フィルタは誤差信号の二乗平均値 $E[e_t^2]$ を最小にするように最適化

ベクトル表現に変換 インデックスの表記変更

$$y[t] = \sum_{k=0}^{M-1} w[k] u[t-k]$$

各変数

$$u_t = u[t] \quad y_t = y[t] \quad w_k = w[k]$$

$$d_t = d[t] \quad e_t = d_t - y_t$$

入力信号 (参照信号) ベクトル

$$\mathbf{u}_t = [u_t, u_{t-1}, \dots, u_{t-M+1}]^T$$

フィルタ係数ベクトル

$$\mathbf{w} = [w_0, w_1, \dots, w_{M-1}]^T$$

$$y_t = \mathbf{w}^T \mathbf{u}_t$$

仮定

ランダム時系列 u_t は定常

以下の2つの条件を満たす

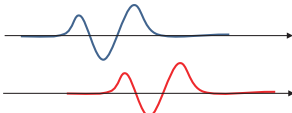
1. この過程の平均値 m は時刻 t に独立

$$m = E[u_t] = \text{const.}$$

E 期待値演算
以降, $m=0$ を仮定

2. 自己相関関数は時間差 $t - k$ のみに依存

$$r[t, k] \triangleq E[u_t u_{t-k}]$$

$$r[t, k] = r[t - k]$$


定常: 信号過程と雑音過程の統計的性質が時間により変化しない
= ある時刻のデータから推測した情報を, 異なる時刻での推測に利用できるような性質

ウィーナーフィルタの導出

誤差の平均二乗誤差をコスト関数として最小化

まず展開する

\mathbf{w} 定数
 d_t, \mathbf{u}_t 密度関数の形状や条件
には触れてない

$$J = E[|e_t|^2]$$

$$= E[(d_t - \mathbf{w}^T \mathbf{u}_t)(d_t - \mathbf{w}^T \mathbf{u}_t)^T]$$

$$= E[|d_t|^2] - 2\mathbf{w}^T E[d_t \mathbf{u}_t]$$

$$+ \mathbf{w}^T E[\mathbf{u}_t \mathbf{u}_t^T] \mathbf{w}$$

ウィーナーフィルタの導出

記号を定義して整理

望みの応答の2乗平均値

$$\sigma_d^2 = E[|d_t|^2]$$

望みの応答と入力信号の相互相関ベクトル

$$\mathbf{r} = E[d_t \mathbf{u}_t]$$

結合定常を仮定: d_t と u_{t-k+1} が定常
相互相関関数が時間差 $k-1$ に依存

自己相関関数

$$\mathbf{R} = E[\mathbf{u}_t \mathbf{u}_t^T]$$

Toeplitz (デブリッツ) 行列
主体対角要素がすべて同じ
並行な他の対角線上の要素も等しい

$$i \text{ 行 } j \text{ 列目 } E[u_{t-i+1} u_{t-j+1}] = r[j-i]$$

補足: 自己相関行列の要素

$$\mathbf{R} = E[\mathbf{u}_t \mathbf{u}_t^T] = E \left[\begin{bmatrix} u_t \\ u_{t-1} \\ \vdots \\ u_{t-M+1} \end{bmatrix} \begin{bmatrix} u_t & u_{t-1} & \cdots & u_{t-M+1} \end{bmatrix} \right]$$

$$= \begin{bmatrix} E[u_t u_t] & E[u_t u_{t-1}] & \cdots & E[u_t u_{t-M+1}] \\ E[u_{t-1} u_t] & E[u_{t-1} u_{t-1}] & \cdots & E[u_{t-1} u_{t-M+1}] \\ \vdots & \vdots & \ddots & \vdots \\ E[u_{t-M+1} u_t] & E[u_{t-M+1} u_{t-1}] & \cdots & E[u_{t-M+1} u_{t-M+1}] \end{bmatrix}$$

$$\text{仮定の2} \quad r[t, k] = E[u_t u_k] = r[t - k]$$

ウィーナーフィルタの導出

定義した記号で置換

$$J = \sigma_d^2 - 2\mathbf{w}^T \mathbf{r} + \mathbf{w}^T \mathbf{R} \mathbf{w}$$

$\min_{\mathbf{w}} J(\mathbf{w})$ を解く問題

コスト関数の導関数が0になる時に最小

$$\frac{\partial J}{\partial \mathbf{w}} = -2\mathbf{r} + 2\mathbf{R} \mathbf{w} = \mathbf{0}$$

$$\mathbf{R} \mathbf{w} = \mathbf{r} \quad \text{正規方程式/ウィーナー・ホッフ方程式 (離散時間)}$$

ウィーナーフィルタの導出

最適なフィルタ係数 $\hat{\mathbf{w}}$

相関行列の逆行列をかける

$$\hat{\mathbf{w}} = \mathbf{R}^{-1} \mathbf{r}$$

自己相関行列はほとんど常に
正定値行列

最小平均二乗誤差

最適値なフィルタ値を代入

$$J_{\min} = \sigma_d^2 - \mathbf{r}^T \mathbf{R}^{-1} \mathbf{r}$$

これ以上誤差を小さくする線形フィルタは設計できない

直交原理

正規方程式 $\mathbf{R}\hat{\mathbf{w}} = \mathbf{r}$ を変形



$$\begin{aligned} E[\mathbf{u}_t \mathbf{u}_t^T] \hat{\mathbf{w}} &= E[d_t \mathbf{u}_t] \\ E[(d_t - \hat{\mathbf{w}}^T \mathbf{u}_t) \mathbf{u}_t] &= \mathbf{0} \\ E[(d_t - \hat{y}_t) \mathbf{u}_t] &= \mathbf{0} \end{aligned}$$

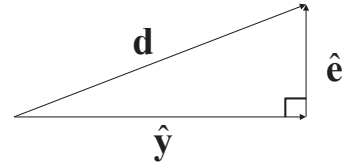
$$E[\hat{e}_t \mathbf{u}_t] = \mathbf{0} \quad \hat{e}_t \text{ 最適フィルタを用いた時に生じる誤差信号}$$

誤差信号とすべてのタップ係数は直交 = 直交原理

$$E[\hat{e}_t \hat{y}_t] = E[\hat{e}_t \hat{\mathbf{w}}^T \mathbf{u}_t] = \hat{\mathbf{w}}^T E[\hat{e}_t \mathbf{u}_t] = \mathbf{0}$$

誤差信号と最適フィルタ出力も直交

直交原理の図的解釈



- 各変数をベクトルと“みなした”幾何学的関係
- 誤差ベクトル $\hat{\mathbf{e}}$ とフィルタ出力ベクトル $\hat{\mathbf{y}}$ は直交するように描かれる
- 誤差が最小となるのは直交が満足されている時のみ
 - 誤差は白色

有限サンプルを用いた近似 最小二乗法

期待値演算: 確率密度・積分計算が必要
→ データのサンプル (平均) で置き換え

$$\begin{aligned} \text{コスト関数 (二乗誤差の総和)} \quad \hat{J} &= \frac{1}{T} \sum_{t=0}^{T-1} |e_t|^2 \quad (T > M) \\ &= \frac{1}{T} \sum_{t=0}^{T-1} (d_t - \mathbf{w}^T \mathbf{u}_t)(d_t - \mathbf{w}^T \mathbf{u}_t)^T \end{aligned}$$

$$\text{解く問題} \quad \min_{\mathbf{w}} \hat{J}(\mathbf{w}) \quad \hat{\mathbf{w}} = \arg \min_{\mathbf{w}} \hat{J}(\mathbf{w})$$

有限サンプルを用いた近似 最小二乗法

期待値演算: 確率密度・積分計算が必要
→ データのサンプル (平均) で置き換え

$$\text{最適フィルタ} \quad \hat{\mathbf{w}} = \hat{\mathbf{R}}^{-1} \hat{\mathbf{r}}$$

$$\hat{\mathbf{r}} = \frac{1}{T} \sum_{t=0}^{T-1} d_t \mathbf{u}_t \quad \hat{\mathbf{R}} = \frac{1}{T} \sum_{t=0}^{T-1} \mathbf{u}_t \mathbf{u}_t^T$$

$$\hat{\sigma}_d^2 = \frac{1}{T} \sum_{t=0}^{T-1} |d_t|^2$$

Mini Quiz #1

- 入力信号 u_t が白色雑音 (平均0, 分散1のガウス分布から生成) の場合, 自己相関行列 \mathbf{R} はどのような形になるか?

$$u_t \sim N(0,1)$$

$$\mathbf{u}_t \quad \mathbf{R}$$

– 計算機で確かめる場合: 十分大きなサンプル数をもって, サンプル平均で近似計算

Octave 疑似コード

```
N = 10000;
n = randn(15, N);
R = n * n' / N;
surf(R); % 3Dプロット
```

最急勾配法

逐次処理化
LMS/NLMS

LMS/NLMS

リアルタイム/逐次処理

エコーキャンセラ

- 動的にフィルタ係数を推定したい
 - 途中で伝達関数が変わっても追従してほしい
- 処理量やメモリ量に制約がある場合も存在
 - 安価・小型デバイス

ウィナーフィルタ・最小二乗法

- 期待値演算 → あまり単純な処理ではない

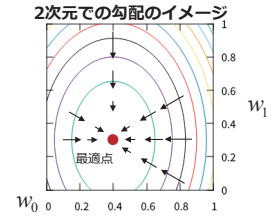
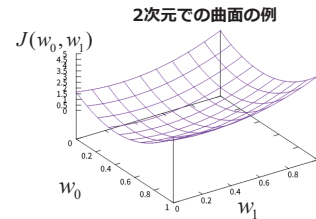


Least Mean Square (LMS) 法/ 最小二乗平均法

(その前に) 最急降下法

正規方程式の解を反復法で求める

- コスト関数 J (2次関数) の曲面: 誤差特性曲面
- 勾配を推定し, 逆の方向にフィルタ係数を変化



(その前に) 最急降下法

正規方程式の解を反復法で求める

- コスト関数 J (2次関数) の曲面: 誤差特性曲面
- 勾配を推定し, 逆の方向にフィルタ係数を変化

$$\nabla J(\mathbf{w}_{k-1}) = \left. \frac{\partial J(\mathbf{w})}{\partial \mathbf{w}} \right|_{\mathbf{w}=\mathbf{w}_{k-1}} \quad k \text{ 反復数}$$

$$\mathbf{w}_k = \mathbf{w}_{k-1} - \mu \nabla J(\mathbf{w}_{k-1}) \quad \mu \text{ 学習係数 (ステップサイズパラメータ)}$$

(その前に) 最急降下法

正規方程式の解を反復法で求める

- コスト関数 J (2次関数) の曲面: 誤差特性曲面
- 勾配を推定し, 逆の方向にフィルタ係数を変化

$$\nabla J(\mathbf{w}_{k-1}) = \left. \frac{\partial J(\mathbf{w})}{\partial \mathbf{w}} \right|_{\mathbf{w}=\mathbf{w}_{k-1}} = -2\mathbf{r} + 2\mathbf{R}\mathbf{w}_{k-1}$$

具体的な更新式

$$\mathbf{w}_k = \mathbf{w}_{k-1} + 2\mu(\mathbf{r} - \mathbf{R}\mathbf{w}_{k-1})$$

データ全部利用 = バッチ処理

(その前に) 最急降下法

更新式を整理

結果がスカラー値なら

$$\mathbf{w}_k = \mathbf{w}_{k-1} + 2\mu(\mathbf{r} - \mathbf{R}\mathbf{w}_{k-1})$$

$$\mathbf{u}_t^T \mathbf{w}_{k-1} = \mathbf{w}_{k-1}^T \mathbf{u}_t$$

$$\mathbf{u}_t(\mathbf{w}_{k-1}^T \mathbf{u}_t) = (\mathbf{w}_{k-1}^T \mathbf{u}_t) \mathbf{u}_t$$

$$= \mathbf{w}_{k-1} + 2\mu(E[d_t \mathbf{u}_t] - E[\mathbf{u}_t \mathbf{u}_t^T] \mathbf{w}_{k-1})$$

$$= \mathbf{w}_{k-1} + 2\mu E[(d_t - \mathbf{w}_{k-1}^T \mathbf{u}_t) \mathbf{u}_t]$$

$$e_t = d_t - \mathbf{w}_{k-1}^T \mathbf{u}_t \quad \leftarrow \text{現状のパラメータを用いた事前推定誤差 (予測誤差/誤差信号)}$$

$$\mathbf{w}_k = \mathbf{w}_{k-1} + 2\mu E[e_t \mathbf{u}_t]$$

係数の2は学習係数に含めても良い

LMS法

勾配の瞬時推定値を利用

- 各時刻毎にフィルタの更新が可能
- 1サンプルに対する勾配を利用 (確率的勾配法)

最急降下 (バッチ) $\mathbf{w}_k = \mathbf{w}_{k-1} + 2\mu E[e_t \mathbf{u}_t]$ $E[e_t \mathbf{u}_t] \approx \frac{1}{T} \sum_t e_t \mathbf{u}_t$

LMS (逐次) $\mathbf{w}_t = \mathbf{w}_{t-1} + 2\mu e_t \mathbf{u}_t$

添え字に注意
反復数 → 時間ステップ
全サンプル → 1サンプル

時刻 t のコスト関数 $J_t = (d_t - \mathbf{w}_{t-1}^T \mathbf{u}_t)^2 \Rightarrow \frac{\partial J_t}{\partial \mathbf{w}_{t-1}} = -2(d_t - \mathbf{w}_{t-1}^T \mathbf{u}_t) \mathbf{u}_t$
 e_t 誤差信号

NLMS 法

入力のパワーで正規化した LMS

- Normalized LMS
- LMSよりも収束性が良い

$$\mathbf{w}_t = \mathbf{w}_{t-1} + \mu \frac{1}{\|\mathbf{u}_t\|^2} \mathbf{u}_t e_t$$

- 入力信号のパワーが非常に小さい時は不安定
 - 小さい値 α を加える: 正則化

$$\mathbf{w}_t = \mathbf{w}_{t-1} + \mu \frac{1}{\alpha + \|\mathbf{u}_t\|^2} e_t \mathbf{u}_t$$

NLMS の定式化

下記の拘束付き最適化問題から導出

$$\min_{\mathbf{w}_t} \|\mathbf{w}_t - \mathbf{w}_{t-1}\|^2 \quad \text{subject to } \mathbf{w}_t^T \mathbf{u}_t = d_t$$

Principle of minimal disturbance

- ラグランジュの未定乗数法を用いて解く

$$\begin{aligned} J &= \|\mathbf{w}_t - \mathbf{w}_{t-1}\|^2 + \lambda (d_t - \mathbf{w}_t^T \mathbf{u}_t) \\ &= (\mathbf{w}_t - \mathbf{w}_{t-1})^T (\mathbf{w}_t - \mathbf{w}_{t-1}) + \lambda (d_t - \mathbf{w}_t^T \mathbf{u}_t) \end{aligned}$$

NLMS の定式化

- \mathbf{w}_t について偏微分

$$\frac{\partial J}{\partial \mathbf{w}_t} = 2(\mathbf{w}_t - \mathbf{w}_{t-1}) - \lambda \mathbf{u}_t \quad \Leftrightarrow \quad \mathbf{w}_t - \mathbf{w}_{t-1} = \frac{1}{2} \lambda \mathbf{u}_t$$

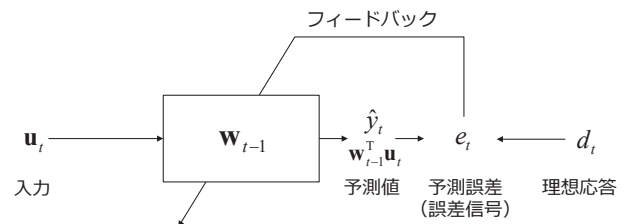
- 左から \mathbf{u}_t^T を乗じる $\Leftrightarrow \lambda \mathbf{u}_t^T \mathbf{u}_t = 2 \mathbf{u}_t^T (\mathbf{w}_t - \mathbf{w}_{t-1})$

$$\lambda = \frac{2}{\mathbf{u}_t^T \mathbf{u}_t} \mathbf{u}_t^T (\mathbf{w}_t - \mathbf{w}_{t-1})$$

$$= \frac{2}{\|\mathbf{u}_t\|^2} (d_t - \mathbf{u}_t^T \mathbf{w}_{t-1}) = \frac{2}{\|\mathbf{u}_t\|^2} e_t$$

$$\mathbf{w}_t = \mathbf{w}_{t-1} + \frac{1}{2} \lambda \mathbf{u}_t = \mathbf{w}_{t-1} + \frac{1}{\|\mathbf{u}_t\|^2} e_t \mathbf{u}_t$$

処理の流れ



$$\text{LMS} \quad \mathbf{w}_t = \mathbf{w}_{t-1} + 2\mu e_t \mathbf{u}_t$$

$$\text{NLMS} \quad \mathbf{w}_t = \mathbf{w}_{t-1} + \mu \frac{1}{\alpha + \|\mathbf{u}_t\|^2} e_t \mathbf{u}_t$$

$$\text{フィルタリング} \quad y_t = \mathbf{w}_t^T \mathbf{u}_t$$

Mini Quiz #2

- ある環境のフィルタ（伝達特性）を LMS で推定したい
- 音量が異なる信号 $u[t]$ と $0.001u[t]$ を入力信号として、フィルタ更新値の違いを比較する
- 学習係数としてある値 μ を用いる場合、2つの入力信号間の音量の違いが、フィルタ更新式のどの部分に現れるだろうか
 - 初期値 $\mathbf{w}_0 = \mathbf{0}$ として、 \mathbf{w}_1 の違いを考えてみよう

$$\text{LMS} \quad \mathbf{w}_t = \mathbf{w}_{t-1} + 2\mu e_t \mathbf{u}_t \quad e_t = d_t - \mathbf{w}_{t-1}^T \mathbf{u}_t$$

$$\text{真の伝達関数 (固定)} \quad \mathbf{h} \quad d_t = \mathbf{h}^T \mathbf{u}_t$$

定式化

再帰的な表現の導出

RLS

再帰最小二乗法 (RLS)

Recursive least square

最小二乗解を再帰的に求める手法

- 統計量の仮定無し: 得られた観測データすべてに関して誤差を最小化
- 入力毎にフィルタ係数を更新
 - ⊙ LMS よりもはるかに速い収束速度
 - ⊗ 計算量とのトレードオフ 集合平均 = 時間平均
- d_i と \mathbf{u}_i が結合定常¹なエルゴード過程に従う
 - データ数無限大でウィナー解に近づく

考え方の参考のために導出を追う

(計算結果の再利用+逐次更新)

¹ d_i と u_{i-k+1} が定常, 相互相関関数が時間差 $k-1$ に依存

RSL 定式化

コスト関数: 重み付き誤差の場合

- 過去の誤差の影響を小さくする
 - パラメータ変化に対する追従を重視
- 重み λ ($0 < \lambda < 1$) を導入

$$J_t = \sum_{i=0}^t \lambda^{t-i} |e_i|^2$$

$$= \sum_{i=0}^t \lambda^{t-i} |d_i - \mathbf{w}_i^T \mathbf{u}_i|^2$$

RSL 定式化

一旦展開して最適解を求める

$$J_t = \sum_{i=0}^t \lambda^{t-i} (d_i - \mathbf{w}_i^T \mathbf{u}_i)(d_i - \mathbf{w}_i^T \mathbf{u}_i)^T$$

$$= \sum_{i=0}^t \lambda^{t-i} (d_i^2 - 2d_i \mathbf{w}_i^T \mathbf{u}_i + \mathbf{w}_i^T \mathbf{u}_i \mathbf{u}_i^T \mathbf{w}_i)$$

$$= \sum_{i=0}^t \lambda^{t-i} d_i^2 - 2\mathbf{w}_t^T \sum_{i=0}^t \lambda^{t-i} d_i \mathbf{u}_i$$

$$+ \mathbf{w}_t^T \left(\sum_{i=0}^t \lambda^{t-i} \mathbf{u}_i \mathbf{u}_i^T \right) \mathbf{w}_t$$

RSL 定式化

偏微分して 0 と置く

$$\left(\sum_{i=0}^t \lambda^{t-i} \mathbf{u}_i \mathbf{u}_i^T \right) \mathbf{w}_t = \sum_{i=0}^t \lambda^{t-i} d_i \mathbf{u}_i$$

- 自己相関行列と相互相関ベクトルの推定値

$$\mathbf{R}_t = \left(\sum_{i=0}^t \lambda^{t-i} \mathbf{u}_i \mathbf{u}_i^T \right) \quad \mathbf{r}_t = \sum_{i=0}^t \lambda^{t-i} d_i \mathbf{u}_i$$

$$\mathbf{R}_t \mathbf{w}_t = \mathbf{r}_t \quad \mathbf{w}_t = \mathbf{R}_t^{-1} \mathbf{r}_t$$

これまでと似たような形

再帰的な表現の導出

方針: $\mathbf{w}_t = \mathbf{R}_t^{-1} \mathbf{r}_t$ を \mathbf{w}_{t-1} や $t-1$ 時刻の情報で記述

- 次の変数を上手く変形

自己相関関数

$$\mathbf{R}_t = \left(\sum_{i=0}^t \lambda^{t-i} \mathbf{u}_i \mathbf{u}_i^T \right) = \lambda \mathbf{R}_{t-1} + \mathbf{u}_t \mathbf{u}_t^T$$

相互相関ベクトル

$$\mathbf{r}_t = \sum_{i=0}^t \lambda^{t-i} d_i \mathbf{u}_i = \lambda \mathbf{r}_{t-1} + d_t \mathbf{u}_t$$

まずやっかいな逆行列部分を何とかしていく

再帰的な表現の導出

- 逆行列 $\mathbf{R}_t^{-1} = \mathbf{P}_t$ は逆行列の補助定理により

$$\mathbf{R}_t = \lambda \mathbf{R}_{t-1} + \mathbf{u}_t \mathbf{u}_t^T \quad \mathbf{A} = \mathbf{B}^{-1} + \mathbf{C} \mathbf{D}^{-1} \mathbf{C}^T$$

$$\mathbf{A}^{-1} = \mathbf{B} - \mathbf{B} \mathbf{C} (\mathbf{D} + \mathbf{C}^T \mathbf{B} \mathbf{C})^{-1} \mathbf{C}^T \mathbf{B}$$

$$\mathbf{P}_t = \lambda^{-1} \mathbf{P}_{t-1} - \frac{\lambda^{-2} \mathbf{P}_{t-1} \mathbf{u}_t \mathbf{u}_t^T \mathbf{P}_{t-1}}{1 + \lambda^{-1} \mathbf{u}_t^T \mathbf{P}_{t-1} \mathbf{u}_t}$$

とりあえず受け入れる
(存在は知っておく)

- ゲインベクトル \mathbf{g}_t を定義して整理

$$\mathbf{g}_t = \frac{\lambda^{-1} \mathbf{P}_{t-1} \mathbf{u}_t}{1 + \lambda^{-1} \mathbf{u}_t^T \mathbf{P}_{t-1} \mathbf{u}_t}$$

これも受け入れる

$$\mathbf{P}_t = \lambda^{-1} \mathbf{P}_{t-1} - \lambda^{-1} \mathbf{g}_t \mathbf{u}_t^T \mathbf{P}_{t-1}$$

再帰的な表現の導出

– \mathbf{P}_t の変形

$$\begin{aligned}\mathbf{P}_t &= \lambda^{-1} \mathbf{P}_{t-1} - \lambda^{-1} \mathbf{g}_t \mathbf{u}_t^T \mathbf{P}_{t-1} \\ &= \lambda^{-1} (\mathbf{I} - \mathbf{g}_t \mathbf{u}_t^T) \mathbf{P}_{t-1}\end{aligned}$$

– \mathbf{g}_t の変形

$$\begin{aligned}\mathbf{g}_t (1 + \lambda^{-1} \mathbf{u}_t^T \mathbf{P}_{t-1} \mathbf{u}_t) &= \lambda^{-1} \mathbf{P}_{t-1} \mathbf{u}_t \\ \mathbf{g}_t &= \lambda^{-1} \mathbf{P}_{t-1} \mathbf{u}_t - \mathbf{g}_t \lambda^{-1} \mathbf{u}_t^T \mathbf{P}_{t-1} \mathbf{u}_t \\ &= \lambda^{-1} (\mathbf{I} - \mathbf{g}_t \mathbf{u}_t^T) \mathbf{P}_{t-1} \mathbf{u}_t \\ &= \mathbf{P}_t \mathbf{u}_t\end{aligned}$$

再帰的な表現の導出

– 最適解に戻ってきて変形

$$\begin{aligned}\mathbf{w}_t &= \mathbf{P}_t \mathbf{r}_t & \left\{ \begin{array}{l} \mathbf{r}_t = \lambda \mathbf{r}_{t-1} + d_t \mathbf{u}_t \\ \mathbf{P}_t = \lambda^{-1} (\mathbf{I} - \mathbf{g}_t \mathbf{u}_t^T) \mathbf{P}_{t-1} \\ \mathbf{g}_t = \mathbf{P}_t \mathbf{u}_t \\ \mathbf{w}_{t-1} = \mathbf{P}_{t-1} \mathbf{r}_{t-1} \end{array} \right. \\ &= \lambda \mathbf{P}_t \mathbf{r}_{t-1} + \mathbf{P}_t \mathbf{u}_t d_t \\ &= (\mathbf{I} - \mathbf{g}_t \mathbf{u}_t^T) \mathbf{P}_{t-1} \mathbf{r}_{t-1} + \mathbf{g}_t d_t \\ &= (\mathbf{I} - \mathbf{g}_t \mathbf{u}_t^T) \mathbf{w}_{t-1} + \mathbf{g}_t d_t \\ &= \mathbf{w}_{t-1} + \mathbf{g}_t (d_t - \mathbf{w}_{t-1}^T \mathbf{u}_t) \\ &= \mathbf{w}_{t-1} + \mathbf{g}_t e_t\end{aligned}$$

RLS まとめ

初期化 $\mathbf{P}_0 = \varepsilon \mathbf{I}$ $\mathbf{w}_0 = \mathbf{0}$ $\varepsilon > 0$ 小さい定数
Pの正定値保証

反復

ゲインベクトル $\mathbf{g}_t = \frac{\lambda^{-1} \mathbf{P}_{t-1} \mathbf{u}_t}{1 + \lambda^{-1} \mathbf{u}_t^T \mathbf{P}_{t-1} \mathbf{u}_t}$

予測誤差 $e_t = d_t - \mathbf{w}_{t-1}^T \mathbf{u}_t$

フィルタ更新 $\mathbf{w}_t = \mathbf{w}_{t-1} + \mathbf{g}_t e_t$

自己相関行列
の逆行列更新 $\mathbf{P}_t = \lambda^{-1} (\mathbf{I} - \mathbf{g}_t \mathbf{u}_t^T) \mathbf{P}_{t-1}$

フィルタリング $y_t = \mathbf{w}_t^T \mathbf{u}_t$

LMS と RLS の対比

更新式

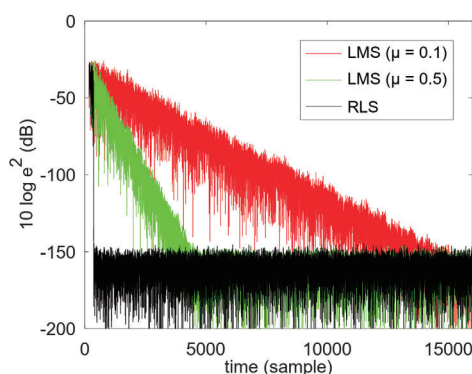
LMS $\mathbf{w}_t = \mathbf{w}_{t-1} + 2\mu e_t \mathbf{u}_t$

RLS $\mathbf{w}_t = \mathbf{w}_{t-1} + \mathbf{g}_t e_t$ $\mathbf{g}_t = \frac{\lambda^{-1} \mathbf{P}_{t-1} \mathbf{u}_t}{1 + \lambda^{-1} \mathbf{u}_t^T \mathbf{P}_{t-1} \mathbf{u}_t}$

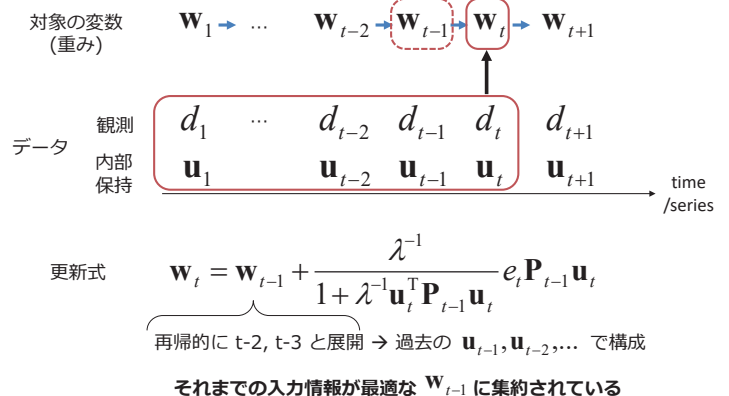
$$= \mathbf{w}_{t-1} + \frac{\lambda^{-1}}{1 + \lambda^{-1} \mathbf{u}_t^T \mathbf{P}_{t-1} \mathbf{u}_t} e_t \mathbf{P}_{t-1} \mathbf{u}_t$$

RLS は $\mathbf{P} = \mathbf{R}^{-1}$ による補正
→ 入力の相関をキャンセルする効果
(白色性の信号 vs. 音声信号など (有色))

誤差信号のプロット



再掲: フィルタリング 次回はより抽象化して扱う



他のトピック

非線形

- Volterra filter: 弱い非線形性に良い
- カーネルベースの適応フィルタ
 - 変換された入力ベクトル + 線形モデル

ロバスト性: 外乱 (雑音) への対応

- Huber の M 推定: コスト関数の変更
- 雑音検出器: フィルタ更新を一時停止

高速化: サブバンド処理

- 複素表現パラメータ

ブラインド推定: 教師なし学習

実習・実装

LMS・NLMS 辺りは簡単

- Octave ならかなり手軽に試せる
- MIT HRTF などのインパルス応答を用いてシミュレート可能
 - <https://sound.media.mit.edu/resources/KEMAR.html>
- 雑音が重畳する場合など, パラメータを変更して色々試してみましょう

エコーキャンセラの設定: 参照信号をキャンセルするために伝達経路(フィルタ)を推定しているのであって, 「(よくわからん)雑音をとにかく抑圧したい」というわけでない

参考文献

- 浅野太「音のアレイ信号処理」
- S. ヘイキン (武部 幹訳) 「適応フィルタ入門」
- S. Haykin, “Adaptive Filter Theory fifth edition”
- 日本音響学会「音のなんでも小辞典」
- Albert S. Bregman: “Auditory Scene Analysis The Perceptual Organization of Sound”